

بررسی ساختاری و ترمودینامیکی مایعات مولکولی مخلوط دوتایی مولکولهای بیضوی گون با برهمکنش گی-برن

محمود مرادی^۱ و رضا خرداد^۲

بخش فیزیک، دانشگاه شیراز، کد پستی ۷۱۴۵۴ ، شیراز

پست الکترونیکی : ۱. moradi@susc.ac.ir

۲. khordad@mail.yu.ac.ir

(دریافت مقاله: ۸۵/۵/۳۰ ؛ دریافت نسخه نهایی: ۸۶/۲/۱۲)

چکیده

در این مقاله شاره مخلوط کلاسیکی یکنواخت مشکل از مولکولهای بیضوی گون را مورد مطالعه قرار داده‌یم. این شاره مخلوط از دو نوع مولکول بیضوی گون با برهمکنش گی-برن^۱ (GB) (در اصطلاح، بیضویهای نرم) که دارای اندازه‌های متفاوتی می‌باشند و در دمای T قرار دارند، تشکیل یافته است. برای این سیستم، معادله ارنستین-زرنیک^۲ با رابطه بستاری پرکس-بیوک^۳ را حل کرده، تابع همبسته مستقیم و خواص ترمودینامیکی این شاره را در دمای T محاسبه و با نتایج شبیه سازی و دیگر روشها مقایسه می‌کنیم. نتایج به دست آمده در توافق خوبی می‌باشند.

واژه‌های کلیدی: مایعات مولکولی، مخلوط دوتایی، برهمکنش گی-برن، تابع همبسته

۱. مقدمه

می‌توان به بستارهای PY^۴ و HNC^۵ اشاره نمود [۶] که در این بستارهای کمکی پتانسیل برهمکنش بین مولکولهای شاره نیز به چشم می‌خورد. پیش‌بینی خواص فیزیکی شاره‌ها بر اساس اطلاع از شکل مولکولهای آن و برهمکنش‌های بین مولکولی، یکی از مهمترین مسائل در فیزیک بلورهای مایع می‌باشد.

در سالهای اخیر تحقیقات زیادی بر روی انواع برهمکنش‌های بین مولکولی [۹] و شکل‌های مختلف مولکولها انجام گرفته و در همین رابطه شبیه سازی‌های کامپیوتری مختلفی [۱۰] نیز انجام شده است. در نظر گرفتن شکل کره برای مولکولهای یک شاره و برهمکنش بین

در توصیف خواص ترمودینامیکی و ساختاری شاره‌های کلاسیکی ساده [۱]، مولکولی [۲] و شاره‌های مولکولی چند مولفه‌ای [۳-۵]، تابع همبسته مستقیم بین مولکولهای شاره نقش مهمی را ایفاء می‌کنند. یکی از مفیدترین روشها برای محاسبه تابع همبسته مستقیم یک شاره، حل معادله انتگرالی ارنستین-زرنیک^۶ می‌باشد. تابع همبسته مستقیم و تابع توزیع دوتایی اساس این معادله انتگرالی [۶] را تشکیل می‌دهند. این معادله انتگرالی دارای دو تابع مجھول می‌باشد [۸ و ۷] و برای حل آن از یک رابطه کمکی که به آن رابطه بستاری گفته می‌شود استفاده می‌شود. از جمله این روابط

^۳. Percus-Yevick

^۴. Hyper Netted-Chain

^۱. Gay-Berne

^۲. Ornstein-Zernike

فاصله بین مرکز دو بیضوی گون تعریف نموده و به صورت زیر نمایش داده می‌شود [۱۵]:

$$\sigma(\hat{r}, \hat{u}_i, \hat{u}_j) = \sigma_0 \left\{ 1 - \frac{1}{2} \chi \left[\frac{(\hat{r} \cdot \hat{u}_i + \hat{r} \cdot \hat{u}_j)^2}{1 + \chi (\hat{u}_i \cdot \hat{u}_j)} \right. \right. \\ \left. \left. + \frac{(\hat{r} \cdot \hat{u}_i - \hat{r} \cdot \hat{u}_j)^2}{1 - \chi (\hat{u}_i \cdot \hat{u}_j)} \right] \right\}^{-\frac{1}{2}}, \quad (1)$$

که $\sigma_0 = \sqrt{2}\sigma_{\perp}$ و ناهمسانگردی مولکولی χ (میزانی از غیر کروی بودن مولکول را نشان می‌دهد) به صورت $\chi = \frac{\kappa^2 - 1}{\kappa^2 + 1}$ تعریف می‌شود. در این رابطه κ نسبت طول به پهنای مولکول را مشخص می‌سازد که در این مورد $\sqrt{2}\sigma_{\perp}$ و $\sqrt{2}\sigma_{\parallel}$ طول و پهنای مولکول می‌باشد. لازم به ذکر است که رابطه (۱) برای دو مولکول با اندازه‌های یکسان به دست آمده است. زهו [۱۶] و همکارانش توانستند این رابطه را برای مایع مولکولی مخلوط که مولکولهای آن دارای اندازه متفاوتی هستند، تعمیم داده و رابطه جدیدی به دست آورده‌اند که به صورت زیر است:

$$\sigma(\hat{r}, \hat{u}_i, \hat{u}_j) = \sigma_0 \left\{ 1 - \frac{1}{2} \times \right. \quad (2)$$

$$\left[\frac{2(1+\theta)}{1+\chi_{ij}\theta} (\hat{r} \cdot \hat{v}_i)^2 + \frac{2(1-\theta)}{1-\chi_{ij}\theta} (\hat{r} \cdot \hat{v}_j)^2 \right]^{-\frac{1}{2}},$$

که σ_0 و θ به صورت زیر می‌باشند:

$$\sigma_0 = \sqrt{\sigma_{i\perp}^2 + \sigma_{j\perp}^2}, \quad (3)$$

$$\theta = \sqrt{\alpha_{ij}^2 + (1 - \alpha_{ij}^2)(\hat{u}_i \cdot \hat{u}_j)^2}, \quad (4)$$

و ضرایب α_{ij} و χ_{ij} به صورت زیر تعریف می‌شوند:

$$\alpha_{ij} = \frac{(\sigma_{i\parallel}^2 - \sigma_{i\perp}^2) - (\sigma_{j\parallel}^2 - \sigma_{j\perp}^2)}{(\sigma_{i\parallel}^2 - \sigma_{i\perp}^2) + (\sigma_{j\parallel}^2 - \sigma_{j\perp}^2)}, \quad (5)$$

$$\chi_{ij} = \frac{(\sigma_{i\parallel}^2 - \sigma_{i\perp}^2) + (\sigma_{j\parallel}^2 - \sigma_{j\perp}^2)}{(\sigma_{i\parallel}^2 + \sigma_{i\perp}^2) + (\sigma_{j\parallel}^2 + \sigma_{j\perp}^2)}. \quad (6)$$

^۳. Zhou

مولکولی کر سخت [۱۱] را می‌توان از مهمترین و ساده‌ترین مدل‌های مورد استفاده در مطالعه مایعات ساده برشمرد. حل تحلیلی [۱۲] معادله ارنستین- زرنيک با رابطه بستاری PY برای یک شاره کلاسیکی مت Shank از کره‌های سخت را می‌توان گامی بزرگ در گسترش و کاربرد تئوری شاره‌های ساده دانست. به طور کلی مدل‌های مولکولی با مغز سخت^۱ (که ساده‌ترین مورد کر سخت می‌باشد) در درک شاره‌های پیچیده‌تر مانند بلورهای مایع از اهمیت به سزاوی برخوردارند. در میان این مدل‌های مولکولی، می‌توان از مدل همپوشانی گاوی سخت (HGO) که در چندین سال گذشته بیشتر مورد توجه قرار گرفته، نام برد [۱۳]. البته مطالعاتی نیز بر روی مدل‌های مولکولی با مغز نرم نیز انجام گرفته که مدل گی- برن [۱۴] از اهمیت خاصی در میان پژوهشگران این رشته برخوردار است.

۲. مایعات مولکولی ساده و مخلوط با برهمکنش‌های گی-

برن و همپوشانی گاوی سخت

در ادامه بحث سعی می‌کنیم این مدلها و به طور خاص مدل گی- برن را مورد استفاده قرار دهیم. مدل همپوشانی گاوی سخت که اولین بار توسط برن و پچوکاس^۲ [۱۵] مطرح شده را می‌توان تلاشی برای تعمیم برهمکنش دافعه کوتاه برد به مولکولهای کشیده دانست. در این مدل هر مولکول توسط توزیع جرمی گاوی شکلی نمایش داده شده و برهمکنش دافعه بین یک جفت مولکول بر حسب همپوشانی توابع گاوی اشان تعریف گردیده است. برهمکنش دافعه با یک طول مشخصه که بستگی به سمتگیری نسبی مولکولها دارد کاهش می‌یابد. در مورد مولکولهای تک محوری، اگر \hat{u}_i بردار یکه در جهت محور اصلی مولکول i و \hat{r}_{ij} بردار یکه در جهت بردار (این بردار مرکز جرم دو مولکول i و j را به هم متصل می‌سازد) در نظر گرفته شود، این طول مشخصه را کمترین

^۱. Hard core

^۲. Berne and Pechukas

$$U(\hat{r}, \hat{u}_i, \hat{u}_j) = \varepsilon(\hat{r}, \hat{u}_i, \hat{u}_j) \times \left[\left(\frac{1}{r - \sigma(\hat{r}, \hat{u}_i, \hat{u}_j) + 1} \right)^{12} - \left(\frac{1}{r - \sigma(\hat{r}, \hat{u}_i, \hat{u}_j) + 1} \right)^6 \right], \quad (10)$$

که $\sigma(\hat{r}, \hat{u}_i, \hat{u}_j)$ پارامتر شکل مولکولی (رابطه ۱) و ε پارامتر انرژی به بردارهای یکه \hat{u}_i و \hat{u}_j یعنی سمتگیری دو مولکول و بردار یکه \hat{r} که در راستای فاصله جدایی مرکز جرم دو مولکول قرار گرفته بستگی دارد. شکل کلی پارامتر انرژی ε به صورت زیر است:

$$\varepsilon(\hat{r}, \hat{u}_i, \hat{u}_j) = \varepsilon^v(\hat{u}_i, \hat{u}_j) \varepsilon'^{\mu}(\hat{r}, \hat{u}_i, \hat{u}_j) \quad (11)$$

که در رابطه فوق، توابع ε و ε' به صورت زیر تعریف می‌شوند:

$$\varepsilon(\hat{u}_i, \hat{u}_j) = \varepsilon_0 \left[1 - \chi'(\hat{u}_i \cdot \hat{u}_j)^2 \right]^{-\frac{1}{2}}, \quad (12)$$

$$\begin{aligned} \varepsilon'(\hat{r}, \hat{u}_i, \hat{u}_j) &= 1 - \frac{1}{2} \chi' \left[\frac{(\hat{r} \cdot \hat{u}_i + \hat{r} \cdot \hat{u}_j)^2}{1 + \chi'(\hat{u}_i \cdot \hat{u}_j)} \right. \\ &\quad \left. + \frac{(\hat{r} \cdot \hat{u}_i - \hat{r} \cdot \hat{u}_j)^2}{1 - \chi'(\hat{u}_i \cdot \hat{u}_j)} \right]. \end{aligned} \quad (13)$$

در روابط بالا، χ همان تعریف گفته شده در رابطه (۱) را دارد و χ' به صورت زیر مشخص می‌گردد:

$$\chi' = \frac{\kappa'^{1/\mu} - 1}{\kappa'^{1/\mu} + 1}, \quad (14)$$

که κ' مشابه تعریف κ را دارد و κ یک ثابت است. این مدل پتانسیل، یک خانواده کلی را تشکیل می‌دهد. زیرا با هر انتخاب برای ضرایب v و μ یک نوع پتانسیل مشخص خواهیم داشت. اولین پتانسیلی که توسط گی و برن معرفی شد با انتخاب $v=1$ و $\mu=2$ به وجود آمد. این مدل پتانسیل، یک قسمت جاذبه و یک قسمت دافعه دارد که با فاصله بین مولکولی r به صورت r^{-6} و r^{-12} به شکل پیچیده‌ای که به

$$\hat{v}_2 = \frac{\vec{v}_2}{|\vec{v}_2|} \quad \text{و} \quad \hat{v}_1 = \frac{\vec{v}_1}{|\vec{v}_1|} \quad \text{به صورت} \quad \hat{v}_2 \quad \text{و} \quad \hat{v}_1$$

می‌باشد که :

$$\vec{v}_1 = (\theta + \alpha_{ij}) \hat{u}_i + (\hat{u}_i \cdot \hat{u}_j) (\lambda - \alpha_{ij}) \hat{u}_j, \quad (7)$$

$$\vec{v}_2 = (\hat{u}_i \cdot \hat{u}_j) (\lambda + \alpha_{ij}) \hat{u}_i - (\theta + \alpha_{ij}) \hat{u}_j. \quad (8)$$

در روابط فوق، \hat{u}_i و \hat{u}_j بردارهای یکه مشخص کننده سمتگیری مولکولها و \hat{r} بردار یکه در جهت بردار متصل کننده مرکز جرم دو مولکول است. در مدل همپوشانی گاوی سخت (با مولکولهای یکسان یا غیر یکسان) انرژی پتانسیل U_{ij} بین مولکولها که بر اساس فرض، دافعه خالص می‌باشد، به صورت زیر تعریف می‌شود:

$$U_{ij} = \begin{cases} \infty & r \leq \sigma(\hat{r}, \hat{u}_i, \hat{u}_j) \\ 0 & r > \sigma(\hat{r}, \hat{u}_i, \hat{u}_j) \end{cases} \quad (9)$$

مطابق این مدل، می‌توان $\sigma(\hat{r}, \hat{u}_i, \hat{u}_j)$ را به عنوان تقریب نزدیکترین فاصله^۱ بین یک زوج مولکول با ناهمسانگردی κ تعییر نمود. اکنون با توضیحات داده شده در مورد این مدل می‌توان مدل برهمکنش گی- برن را که هدف اصلی این مقاله است توضیح داد. در بررسی رفتار مولکولهای ساده و بلورهای مایع، علاوه بر پتانسیلهای سخت، مدل‌های پتانسیل نرم بین مولکولهای غیرکروی نیز وجود دارد. یکی از این مدل‌ها که به پتانسیل گی- برن معروف است بیشتر از دیگر پتانسیلهای در شبیه‌سازیهای کامپیوتری و محاسبات نظری مایعات مولکولی مورد استفاده قرار گرفته است. این پتانسیل را می‌توان به عنوان یک نمونه ناهمسانگرد و تغییر یافته از برهمکنش لنارد- جونز^۲ (۶-۱۲) که برای مولکولهایی با شکل کروی مورد استفاده قرار می‌گیرد در نظر گرفت. شکل کلی پتانسیل گی- برن به صورت زیر نوشته می‌شود:

۱. Closest approach approximation

۲. Lennard-Jones

اوقات معادله (۱۶) به شکل ماتریسی به صورت زیر نوشته می‌شود:

$$H(X_1, X_2) = C(X_1, X_2) + \frac{1}{4\pi} \times \int C(X_1, X_2) \rho H(X_2, X_2) dX_2, \quad (17)$$

که ρ یک ماتریس قطری با عناصر $\rho_1, \rho_2, \rho_3, \dots$ است. $C(X_1, X_2)$ و $H(X_1, X_2)$ ماتریسهای تابع همبسته کل و مستقیم هستند. عناصر این ماتریسهای همبستگی بین مولکول i با پیکربندی X_1 و مولکول j با پیکربندی X_2 را نشان می‌دهد.

۳.۱. بسط توابع همبسته در فضای حقیقی و وارون
 با توجه به اینکه توابع همبسته بین مولکولها به فاصله نسبی دو مولکول و سمتگیری آنها بستگی دارد می‌توان این توابع را به صورت یک سری [۱۸ و ۱۹] بر حسب همانگاهای کروی^۱ یا ناورداهای چرخشی^۲ بسط داد. بر اساس چارچوب مرجع انتخابی، برای بسط دادن این توابع دو روش در اختیار داریم. بسط نخست بر اساس چارچوب ثابت فضایی^۳ (SF) و بسط دیگر بر اساس چارچوب بردار بین مولکولی^۴ (BF) می‌باشد که به ترتیب به صورت زیر نمایش داده می‌شوند [۶]:

$$F(X_1, X_2) = \sum_{l_1, l_2} f_{l_1, l_2}(r_{12}) \Phi^{l_1, l_2}(r_{12}, \hat{u}_1, \hat{u}_2), \quad (18)$$

$$F(X_1, X_2) = \sum_{l_1, l_2, m} f_{l_1, l_2, m}(r_{12}) Y_l^m(\hat{u}_1) Y_{l_2}^{-m}(\hat{u}_2). \quad (19)$$

در رابطه فوق، $F(X_1, X_2)$ می‌تواند هر کدام از توابع همبسته Y_l^m یا H باشد. اعداد l_i و m همگی صحیح هستند، C همانگاهای کروی و Φ^{l_1, l_2} ناورداهای چرخشی می‌باشند که به صورت زیر تعریف می‌شود [۸]:

$$\begin{aligned} \Phi_{\mu\nu}^{mn}(\Omega_1, \Omega_2, r) &= f^{mn} \sum_{\mu' \nu' \lambda} \binom{m}{\mu'} \binom{n}{\nu'} \binom{l}{\lambda} \\ &\times R_{\mu\mu}^m(\hat{\Omega}_1) R_{\nu'\nu}^n(\hat{\Omega}_2) R_{\lambda\circ}^l(r). \end{aligned} \quad (20)$$

۱. Spherical harmonics

۲. Rotational invariants

۳. Space fixed frame

۴. Body frame

سمتگیری مولکولها و فاصله بین مولکولی آنها بستگی دارد کاوش می‌یابد. این پتانسیل چندین مزیت دارد که عبارتند از: ۱- وقتی شکل مولکولها تغییر کند، پارامترهای این مدل پتانسیل قابل تغییر هستند. ۲- برخلاف پتانسیلهای سخت که فقط قسمت دافعه دارد، این مدل هر دو قسمت دافعه و جاذبه را با هم دارد. ۳- این مدل پتانسیل برخلاف مدل‌های سخت دارای ناپیوستگی نیست و به آسانی و به طور تحلیلی می‌توان از آن نسبت به متغیرهای موقعیتی دیفرانسیل گرفت.

با توجه به توضیحاتی که در مورد پتانسیل گی-برن داده شد، در بخش‌های بعدی مقاله سعی بر این است که معادله ارنستین-زرنیک را برای یک سیستم دوتایی از مولکولهای بیضوی گون با این مدل پتانسیل حل کرده و تابع همبسته مستقیم و خواص ترمودینامیکی آن را به دست آوریم.

۳. معادله انتگرالی ارنستین - زرنیک

با تعمیم معادله ارنستین-زرنیک به یک شاره یکنواخت مشکل از مولکولهای خطی با شکل غیر کروی این معادله به صورت زیر نوشته می‌شود [۶]:

$$h(X_1, X_2) = c(X_1, X_2) + \frac{\rho}{4\pi} \times \int c(X_1, X_2) h(X_2, X_2) dX_2, \quad (15)$$

که پیکربندی^۱ مولکول i ، $X_i = (\vec{r}_i, \Omega_i)$ نشان دهنده موقعیت مرکز جرم مولکول (\vec{r}_i) و $\Omega_i = (\theta_i, \varphi_i)$ سمتگیری آن است. عبارتهای $c(X_1, X_2)$ و $h(X_1, X_2)$ به ترتیب توابع همبسته کل و مستقیم بین مولکولهای شاره و ρ چگالی عددی شاره می‌باشد. در مورد یک شاره مخلوط n مولفه‌ای، معادله (۱۵) را می‌توانیم به شکل زیر بنویسیم [۱۷]:

$$h_{ij}(X_1, X_2) = c_{ij}(X_1, X_2) + \frac{1}{4\pi} \times \sum_{k=1}^n \int c_{ik}(X_1, X_2) \rho_k h_{kj}(X_2, X_2) dX_2. \quad (16)$$

در رابطه فوق، h_{ij} و c_{ij} همان توابع تعریف شده در رابطه (۱۵) و ρ_k چگالی عددی مولکولهای نوع k می‌باشد. گاهی

۱. Configuration

بیان کرده، سپس تمام توابع همبسته را در فضای وارون بسط داده و در آن رابطه قرار می‌دهیم و در آخر از تعامل نیز استفاده کرده تا بتوانیم رابطه را به شکل زیر بنویسیم که به این روش کاهش معادله ارنستین-زرنیک می‌گویند.

$$h_{ij}(l, l_1 m; q) = c_{ij}(l, l_1 m; q) + \frac{1}{4\pi} \times \sum_l \sum_{k=1}^n c_{ik}(l, l_1 m; q) \rho_k h_{kj}(l, l_1 m; q). \quad (24)$$

رابطه فوق، ضرایب بسط توابع همبسته مستقیم و کل را برابر یک شاره n مولفه‌ای به هم مرتبط می‌سازد.

۴. تابع همبسته مستقیم و خواص ترمودینامیکی

برای حل معادله (۲۴) نیاز به یک رابطه کمکی است که از بستار PY که به صورت زیر تعریف می‌شود، استفاده می‌کنیم:

$$c(X_1, X_2) = b(X_1, X_2)g(X_1, X_2) = f(X_1, X_2)[g(X_1, X_2) - c(X_1, X_2)], \quad (25)$$

که تابع $f(X_1, X_2)$ ، $b(X_1, X_2)$ و $g(X_1, X_2)$ تابع توزیع دوتایی^۱ به صورت زیر می‌باشند:

$$b(X_1, X_2) = 1 - \exp[\beta U(X_1, X_2)], \quad (26)$$

$$f(X_1, X_2) = \exp[-\beta U(X_1, X_2)] - 1, \quad (27)$$

$$g(X_1, X_2) = h(X_1, X_2) + 1. \quad (28)$$

در روابط فوق، $u(X_1, X_2)$ انرژی پتانسیل مربوط به برهمکنش یک زوج مولکول می‌باشد.

چون در رابطه (۲۴) با ضرایب بسط توابع همبسته کار می‌کنیم ابتدا باید رابطه (۲۵) را بسط دهیم [۲۱]

$$\begin{aligned} c_{l, l_1, m}(r) &= \frac{1}{4\pi} \sum_{l'} \sum_{l''} C(l'_1, l''_1, l_1; ; ; ;) C(l'_2, l''_2, l_2; ; ; ;) \times \\ &\sqrt{\frac{(2l'_1 + 1)(2l''_1 + 1)(2l'_2 + 1)(2l''_2 + 1)}{(2l_1 + 1)(2l_2 + 1)}} \times \\ &C(l'_1, l''_1, l_1; ; ; ;) C(l'_2, l''_2, l_2; ; ; ;) \times \\ &\sum_{m'm''} C(l'_1, l''_1, l_1; m', m'', m) b_{l', l'', m'}(r) \times \\ &C(l'_2, l''_2, l_2; -m', -m'', -m) g_{l', l'', m''}(r). \end{aligned} \quad (29)$$

^۱. Mayer function

^۲. Pair distribution function

مانند روابط قبل، $\hat{\Omega}_1$ و $\hat{\Omega}_2$ سمتگیری هر مولکول و \hat{r} بردار یکه در جهت محور متصل کننده مرکز جرم دو مولکول است.

f^{mn} یک ضریب ثابت، $\hat{R}_{\mu'\mu}^m(\hat{\Omega}_1)$ تابع ویگنر^۳ علامت $j = 3$ است. برای یافتن ضرایب در

رابطه (۱۸) از تعامل هماهنگهای کروی و در رابطه (۱۹) از تعامل ناوردهای چرخشی استفاده می‌شود. به عنوان نمونه ضریب بسط در رابطه (۱۹) به صورت زیر خواهد بود:

$$f(l, l_1 m; r) = \frac{1}{4\pi} \int d\Omega_1 \int d\Omega_2 F(\Omega_1, \Omega_2, r) \times Y_{l_1}^m(\Omega_1) Y_{l_2}^{m^*}(\Omega_2) \quad (21)$$

با توجه به شکل خاص معادله ارنستین-زرنیک که به صورت پیچش^۴ دو تابع می‌باشد، در بیشتر موارد با استفاده از تبدیل فوریه^۵ این معادله را در فضای فوریه (فضای وارون) بیان می‌کنند زیرا در این فضا معادله شکل ساده‌ای به خود می‌گیرد. به عنوان نمونه در مورد رابطه (۸) داریم:

$$\vec{h}(q_1, q_2) = \vec{c}(q_1, q_2) + \frac{\rho}{4\pi} \times \vec{c}(q_1, q_2) \vec{h}(q_1, q_2), \quad (22)$$

که \vec{q}_i موقعیت مولکول i را در فضای وارون (فضای q) نشان می‌دهد و در تشابه با فضای حقیقی (فضای r)، نیز می‌توانیم تابع همبسته را بر حسب هماهنگهای کروی یا ناوردهای چرخشی بسط دهیم که دقیقاً شبیه روابط (۱۸) و (۱۹) خواهد بود. نکته جالب توجه این است که می‌توانیم این دو بسط [۲۰] را توسط رابطه زیر که در هر دو فضای حقیقی و وارون برقرار است به هم مرتبط سازیم.

$$f_{l, l_1, l_2}(r) = \sum_m \sqrt{\frac{4\pi}{2l+1}} C(l, l_1, l_2; m, -m, 0) \times f_{l, l_1, m}(r), \quad (23)$$

که $C(l, l_1, l_2; m, -m, 0)$ ضرایب کلبش-گوردن^۶ می‌باشد.

۳. کاهش معادله ارنستین-زرنیک

ابتدا با استفاده از تبدیل فوریه، معادله (۱۶) را در فضای فوریه

^۱. Wigner functions

^۲. Convolution

^۳. Fourier transformation

^۴. Clebsch-Gordan

عناصر آنها به علت انتخاب سه مقدار برای l_1, l_2 و m ماتریس‌های 3×3 می‌باشند.

۷. با استفاده از رابطه (۲۳) در فضای وارون، ضرایب تابع همبسته کل در قسمت قبل را در چارچوب SF بیان می‌کنیم.
۸. با کمک تبدیل عکس فوریه-هنکل، ضرایب را به فضای r می‌بریم.

۹. از رابطه (۳۱) در فضای r استفاده کرده و ضرایب را در چارچوب BF محاسبه می‌کنیم.

۱۰. در آخر با کمک گرفتن از رابطه (۲۹) مقدار جدیدی برای ضرایب $c_{ij}(l_1, l_2, m; r)$ به دست می‌آوریم و به قسمت (۳) بازمی‌گردیم. این روش را تا جایی انجام می‌دهیم که همگرایی حاصل شود.

با محاسبه مقادیر $c_{ij}(l_1, l_2, m; r)$ می‌توانیم با کمک روابط زیر فشار سیستم و تابع توزیع دوتایی [۲۲] آن را به راحتی به دست آوریم.

$$g_{ij}(r) = 1 + \frac{h_{ij}^{(0)}(r)}{4\pi}, \quad (32)$$

$$\beta \left(\frac{\partial P}{\partial \rho} \right) = 1 - \rho [x_1 c_{11}^{(0)}(q=0) + 2x_1 x_2 c_{12}^{(0)}(q=0) + x_2 c_{22}^{(0)}(q=0)]. \quad (33)$$

در روابط فوق، P فشار سیستم، g_{ij} تابع توزیع دوتایی، و $\rho = \frac{\rho_i}{\rho}$ کسر مولکولهای نوع i (غلظت مولکولها) و x_i چگالی کل شاره می‌باشد.

۵. نتایج و بحث

در مورد یک شاره تک مولفه‌ای (شاره ساده) متشکل از مولکولهای بیضوی‌گون با پتانسیل برهمنکنش گی-برن، نتایجی از فشار شاره، تابع توزیع دوتایی و ضریب صفرم تابع همبسته مستقیم $c^{(0)}(r)$ در اختیار داریم [۲۳]، بنابراین در مرحله نخست با برابر قرار دادن اندازه دو مولکول بیضوی‌گون در محاسبات، نتایج خود را با نتایجی که در اختیار داریم مقایسه می‌کنیم. در شکل ۱ تابع توزیع دوتایی یک شاره ساده گی-برن با کسر به هم پکیدگی $T^* = \frac{kT}{\varepsilon_0} = 1/25$ و دمای $\eta = 0/44$ می‌باشد.

اکنون محاسبه تابع همبسته مستقیم را که هدف اصلی این مقاله است را به صورت زیر در چند مرحله بیان می‌کنیم:

۱. با استفاده از روابط (۱) و (۲) و قرار دادن آنها در رابطه (۱۰) انرژی پتانسیل را برای مولکولهای بیضوی گون با اندازه‌های یکسان و غیر یکسان به دست آورده و سپس با کمک رابطه (۲۷) تابع مایر آنها را محاسبه می‌کنیم و با استفاده از رابطه (۲۱) ضرایب تابع مایر را به دست می‌آوریم. لازم به ذکر است که به ازای هر مقدار l_1, l_2 و m چهار تابع مایر f_{11}, f_{12}, f_{21} و f_{22} خواهیم داشت. در مورد بقیه توابع همبسته نیز این گفته صادق است.

۲. یک مقدار اولیه دلخواه (حدس اولیه) برای ضرایب $c_{ij}(l_1, l_2, m; r)$ در فضای r و در چارچوب BF انتخاب می‌کنیم.

۳. در فضای r ، با استفاده از رابطه (۲۳) ضرایب را به چارچوب SF می‌بریم.

۴. اکنون باید ضرایبی که در قسمت قبل در اختیار داریم به فضای فوریه ببریم که این کار را با کمک تبدیل فوریه-هنکل^۱ به صورت زیر انجام می‌دهیم.

$$c_{ij}(l_1 l_2 l; q) = 4\pi (-i)^l \int_0^\infty dr r^l j_l(qr) \times c_{ij}(l_1 l_2 l; r), \quad (30)$$

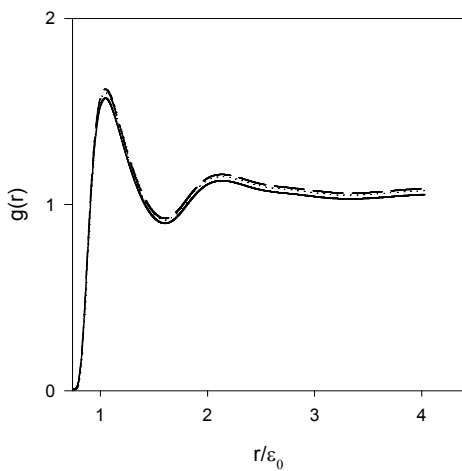
که $j_l(qr)$ تابع بسل کروی مرتبه l می‌باشد.

۵. در فضای q ، با استفاده از رابطه زیر ضرایب را به چارچوب BF بر می‌گردانیم.

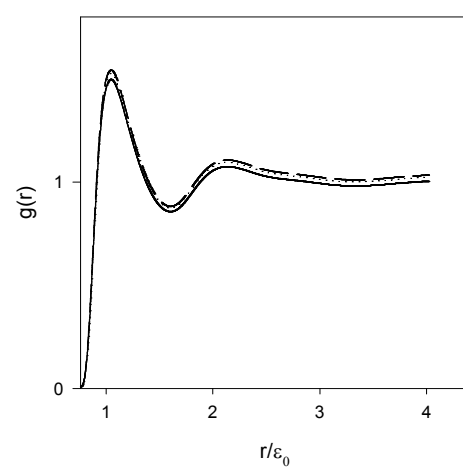
$$c_{ij}(l_1 l_2 m; q) = \sum_l \sqrt{\frac{l+1}{4\pi}} c_{ij}(l_1 l_2 l; q) \times C(l_1, l_2, l; m, -m, 0) \quad (31)$$

۶. اکنون با در اختیار داشتن ضرایب $c_{ij}(l_1 l_2 m; q)$ می‌توانیم معادله (۲۴) را حل کرده و ضرایب تابع همبسته کل $h_{ij}(l_1 l_2 m; q)$ را در فضای q به دست آوریم. توجه به این نکته لازم است که برای حل معادله (۲۴)، آن را به شکل ضرب ماتریسی بیان می‌کنیم که ماتریس‌های اصلی که نشان دهنده توابع همبسته می‌باشند، 2×2 بوده (شاره دوتایی) و

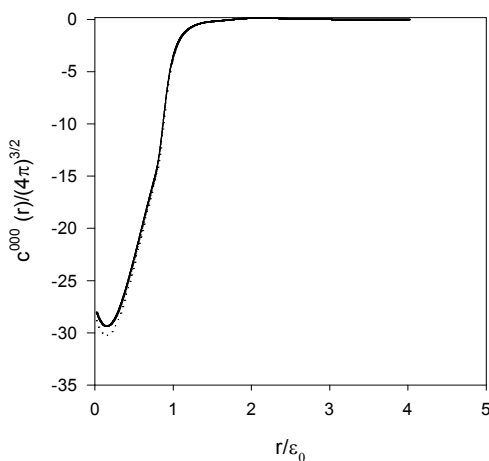
^۱. Fourier-Hankel



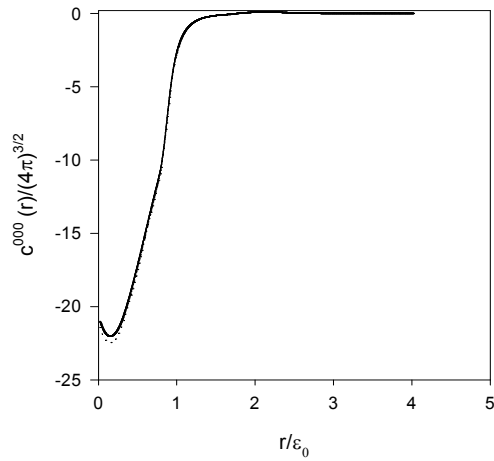
شکل ۲.تابع توزیع دوتایی برای مقادیر $\eta = 0/53407$ و دمای $T^* = \frac{kT}{\varepsilon_0} = 1/25$ و با نسبت‌های $\kappa = 3$ و $\kappa' = 5$. منحنی خط پر، نقطه چین و خط چین به ترتیب کار انجام شده در این مقاله، شبیه‌سازی دینامیک مولکولی و نتیجه سینگ می‌باشد.



شکل ۱.تابع توزیع دوتایی برای مقادیر $\eta = 0/44$ و دمای $T^* = \frac{kT}{\varepsilon_0} = 1/25$ و با نسبت‌های $\kappa = 3$ و $\kappa' = 5$. منحنی خط پر، نقطه چین و خط چین به ترتیب کار انجام شده در این مقاله، شبیه‌سازی دینامیک مولکولی و نتیجه به دست آمده توسط سینگ می‌باشد.



شکل ۴. ضریب بسط تابع همبسته مستقیم در چارچوب SF برای مقادیر $\eta = 0/48$ و دمای $T^* = 1/25$ و با نسبت‌های $\kappa = 3$ و $\kappa' = 5$. منحنی خط پر، کار انجام شده در این مقاله و منحنی نقطه چین کار انجام شده توسط سینگ است.

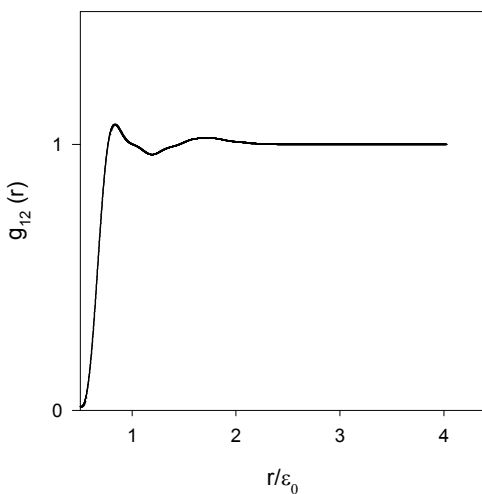


شکل ۳. ضریب بسط تابع همبسته مستقیم در چارچوب SF برای مقادیر $\eta = 0/44$ و دمای $T^* = 1/25$ و با نسبت‌های $\kappa = 3$ و $\kappa' = 5$. منحنی خط پر، کار انجام شده در این مقاله و منحنی نقطه چین کار انجام شده توسط سینگ است.

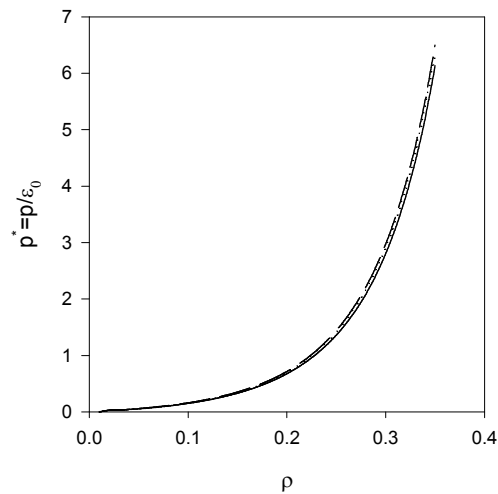
در شکل ۳ ضریب صفرم تابع همبسته مستقیم ($r^{000}(r)$) در چارچوب SF برای یک شاره تک مولفه‌ای گی-برن GB با کسر به هم پکیدگی $\eta = 0/44$ و دمای $T^* = 1/25$ و با نسبت‌های $\kappa = 3$ و $\kappa' = 5$ رسم شده است. منحنی خط پر، محاسبه انجام شده در این مقاله و منحنی نقطه چین محاسبه انجام شده توسط سینگ است. شکل ۴ مشابه شکل ۳ اما با کسر به هم پکیدگی $\eta = 0/48$ رسم گردیده است.

نسبت‌های $\kappa = 3$ و $\kappa' = 5$ رسم شده است. منحنی خط پر، نقطه چین و خط چین به ترتیب کار انجام شده در این مقاله، شبیه‌سازی دینامیک مولکولی^۱ (MD)^{۲۴} و کار انجام شده توسط سینگ^۲ می‌باشد. شکل ۲ مشابه شکل ۱ است با این تفاوت که کسر به هم پکیدگی برابر $\eta = 0/53407$ است.

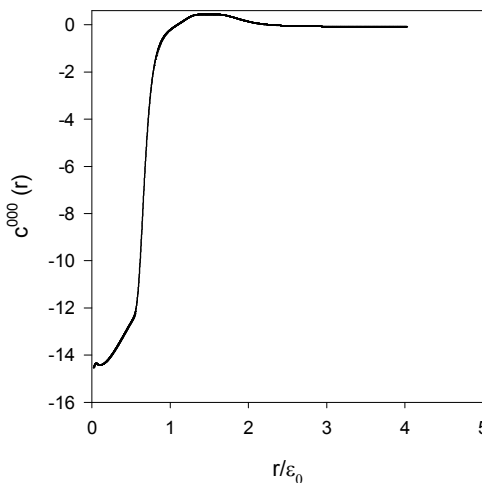
۱. Molecular Dynamic
۲. Singh



شکل ۶.تابع توزیع دوتایی برای مقادیر $\kappa_1 = 3$ ، $\kappa_2 = 4$ ، $\kappa' = 5$ و $T^* = 1/25$ در دمای $\eta = 0/40$ با کسر به هم پکیدگی رسم شده است.



شکل ۵. فشار بر حسب تابعی از چگالی در دمای $T^* = 1/25$ و با نسبت‌های $\kappa = 3$ و $\kappa' = 5$ رسم شده است. منحنی خط پر، نقطه چین و خط چین به ترتیب کار انجام شده در این مقاله، شبیه‌سازی دینامیک مولکولی (MD) و کار انجام شده توسط سینگ می‌باشد.



شکل ۷. ضریب بسط تابع همبسته مستقیم در چارچوب BF برای مقادیر $\kappa_1 = 3$ ، $\kappa_2 = 4$ ، $\kappa' = 5$ و دمای $T^* = 1/25$ و با نسبت‌های $\eta = 0/40$ و $\kappa = 3$ و $\kappa' = 5$ رسم شده است.

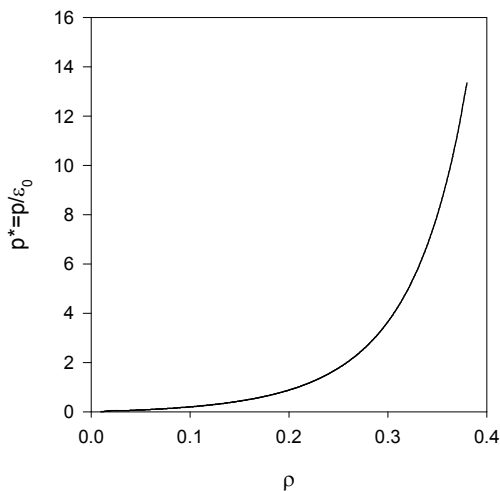
در شکل ۵ فشار $p^* = \frac{p}{\varepsilon_0}$ یک شاره ساده گی-برن بر حسب چگالی با استفاده از رابطه (۳۳) در دمای $T^* = 1/25$ و با نسبت‌های $\kappa = 3$ و $\kappa' = 5$ رسم شده است. منحنی خط پر، نقطه چین و خط چین به ترتیب کار انجام شده در این مقاله، شبیه‌سازی دینامیک مولکولی (MD) و کار انجام شده توسط سینگ می‌باشد. همان طور که مشاهده می‌شود، با افزایش چگالی اختلاف با نتایج شبیه‌سازی بیشتر می‌شود که به علت استفاده از تقریب PY در این مقاله می‌باشد.

در شکل ۶ با استفاده از رابطه (۳۲) تابع توزیع دوتایی برای یک شاره مخلوط دوتایی از مولکولهای بیضوی گون با نسبت‌های $\kappa_1 = 3$ ، $\kappa_2 = 4$ ، $\kappa' = 5$ و در دمای $T^* = 1/25$ با کسر به هم پکیدگی $\eta = 0/40$ رسم شده است. مقادیر κ_1 و κ_2 ، نسبت طول به پهنای دو مولکول می‌باشد.

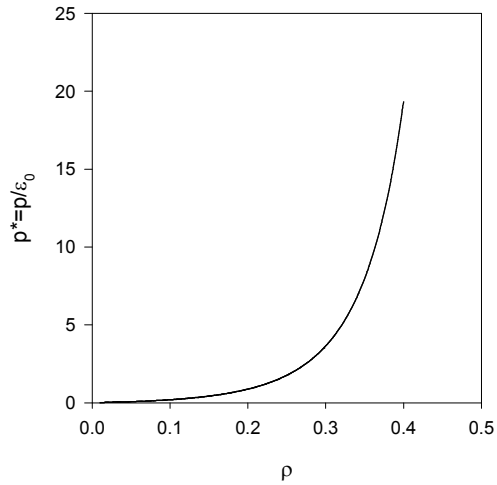
همچنان که مشاهده می‌شود، مقدار تابع توزیع دوتایی پس از فاصله تقریباً دو پهنای بیضوی برابر یک می‌شود.

در شکل ۷ ضریب صفرم تابع همبسته مستقیم در چارچوب BF برای یک شاره مخلوط دوتایی با مقادیر $\kappa_1 = 3$ ، $\kappa_2 = 4$ ، $\kappa' = 5$ و در دمای $T^* = 1/25$ با کسر به هم پکیدگی

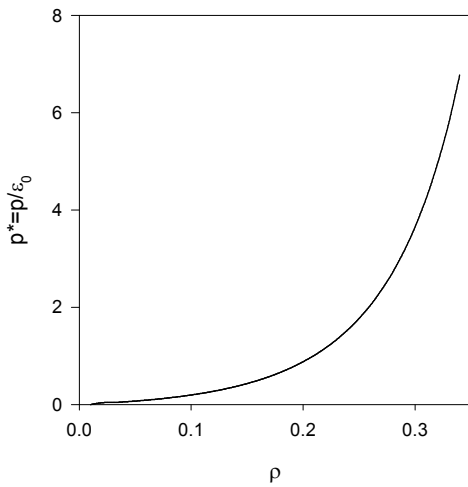
در شکل ۸ فشار $p^* = \frac{p}{\varepsilon_0}$ یک شاره مخلوط دوتایی با پتانسیل برهمنکش گی-برن بر حسب چگالی با استفاده از رابطه (۳۳) در دمای $T^* = 1/25$ و با نسبت‌های $\kappa_1 = 3$ ، $\kappa_2 = 4$ و $\kappa' = 5$ رسم شده است. در این شکل، کسر مولی مولکولهای نوع دوم برابر $x_2 = 0/4$ می‌باشد. شکل ۹ مشابه



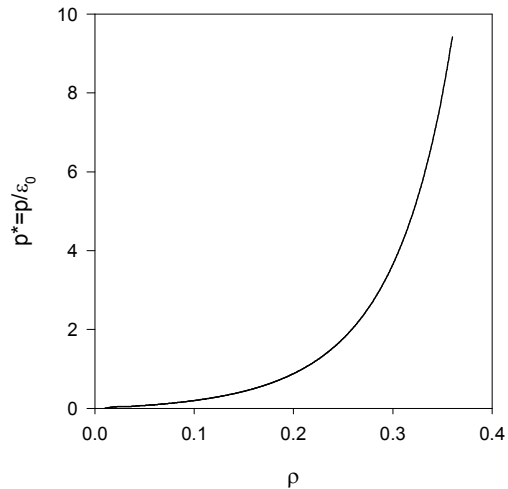
شکل ۹. مشابه شکل ۸، اما با نسبت‌های $\kappa_1 = 4$ و $\kappa_2 = 5$. سایر پارامترها با شکل ۸ یکسان است.



شکل ۸. فشار بر حسب تابعی از چگالی برای یک شاره مخلوط دوتایی گی-برن در دمای $T^* = 1/25$ و با نسبت‌های $\kappa_1 = 3$ ، $\kappa_2 = 4$ و $\kappa' = 5$ رسم شده است. کسر مولی مولکولهای نوع دوم نیز برابر $x_2 = 0/4$ اختیار شده است.



شکل ۱۱. مشابه شکلهای قبل، اما با نسبت‌های $\kappa_1 = 6$ و $\kappa_2 = 7$. سایر پارامترها با شکل ۸ یکسان است.



شکل ۱۰. مشابه شکلهای ۸ و ۹، اما با نسبت‌های $\kappa_1 = 4$ و $\kappa_2 = 5$. سایر پارامترها با شکل ۸ یکسان است.

مایع مولکولی مخلوط دوتایی مولکولهای بیضوی گون با برهمکنش گی-برن می‌باشد که ما در اینجا موفق شدیم توابع همبسته مستقیم و دوتایی را محاسبه کرده و نشان دهیم که محاسبات ما با روش‌های دیگر در تطابق خوبی می‌باشند. خصوصاً توافق نتایج به دست آمده برای فشار و تابع توزیع دوتایی با روش شبیه سازی دینامیک مولکولی نشان دهنده کارایی روشی است که در اینجا به کار برده شده است. می‌دانیم که با داشتن توابع همبسته، امکان محاسبه دیگر

شکل ۸ است با این تفاوت که در این شکل نسبت‌های $\kappa_1 = 4$ و $\kappa_2 = 5$ به کار رفته و سایر پارامترها یکسان است. در شکل ۱۱ نیز مشابه شکلهای قبل، فشار یک شاره مخلوط دوتایی گی-برن با نسبت‌های $\kappa_1 = 6$ و $\kappa_2 = 7$ رسم شده و سایر پارامترها یکسان است. همان گونه که در متن مقاله نیز مشخص است، هدف مقاله حاضر بررسی خواص ترمودینامیکی و ساختاری یک

محاسبه و رسم نموده ایم. همان گونه که مشاهده می شود، محدوده چگالی و فشار شاره مورد بررسی کاوش یافته است که این خود نتیجه‌ای از به کار بردن تقریب PY در محاسبات می باشد.

خواص ترمودینامیکی سیستم شامل ثابت‌های کشسان در مایعات مولکولی، مدول کپه‌ای و دیگر خواص نیز فراهم می شود.

در شکل‌های ۸ تا ۱۱، با ثابت نگه داشتن دما و کسر مولی مولکولها، اندازه مولکولهای شاره را افزایش داده و فشار شاره را

مراجع

1. D Henderson, K Y Chen and L Degreve, *J. Chem. Phys.* **101** (1994) 6975.
2. M Moradi, R J Wheatly and A Avazpour, *J. Phys. Condens. Matter.* **17** (2005) 5625.
3. C N Patra and S K Ghosh, *J. Chem. Phys.* **118** (2003) 3668.
4. R J Baxter, *J. Chem. Phys.* **52** (1970) 4559.
5. A Chamoux and A Perera, *J. Chem. Phys.* **104** (1996) 1493.
6. J P Hansen and I R McDonald, *Theory of Simple Liquids* (Academic, London, 1986).
7. H Lowen, *Phys. Reports.* **237** (1994) 249.
8. P H Fries and G N Patey, *J. Chem. Phys.* **82** (1985) 429.
9. J Talbot, D Kivelson, M P Allen, G T Evans and D Frenkel, *J. Chem. Phys.* **92** (1990) 3048.
10. D J Earl, J Ilnytskyi and M R Wilson, *Molec. Phys.* **99** (2001) 1719.
11. J L Lebowitz and J S Rowlinson, *J. Chem. Phys.* **41** (1964) 133.
12. M S Wertheim, *Phys. Rev. Lett.* **10** (1963) 321.
13. E D Miguel and E M D Rio, *J. Chem. Phys.* **115** (2001) 9072.
14. J G Gay and B J Berne, *J. Chem. Phys.* **74** (1981) 3316.
15. B J Berne and P Pechukas, *J. Chem. Phys.* **56** (1972) 4213.
16. X Zhou, H Chen and M Iwamoto, *J. Chem. Phys.* **120** (2004) 1832.
17. S A Adelman and J M Deutch, *J. Chem. Phys.* **59** (1973) 3971.
18. M P Allen, C P Mason, E D Miguel and J Stelzer, *Phys. Rev. E* **52**, R25 (1995).
19. A Perera, P G Kusalik and G N Patey, *J. Chem. Phys.* **87** (1987) 1295.
20. M Letz and A Latz, *Phys. Rev. E* **60** (1999) 5865.
21. C G Gray and K E Gubbins, *Theory of Molecular Fluids* (Clarendon, Oxford, 1984).
22. H Bosetti and A Perera, *Phys. Rev. E* **63** (2001) 021206.
23. J Ram, R C Singh and Y Singh, *Phys. Rev. E* **49** (1994) 5117.
24. E D Miguel, L F Rull, M K Chalam, K E Gubbins and E V Swol, *Mol. Phys.* **72** (1991) 593; E D Miguel, L F Rull, M K Chalam and K E Gubbins, *ibid.* **74** (1991) 405.